

* مطالعه گرده‌شناختی برخی از گونه‌های ایرانی جنس گل فراموشمکن (*Myosotis*)

بهاره اکبرنژاد: دانش‌آموخته کارشناسی ارشد، دانشکده علوم زیستی، دانشگاه خوارزمی، تهران، ۱۴۹۱۱-۱۵۷۱۹، ایران

فرخ قهرمانی نژاد✉: استاد گروه علوم گیاهی، دانشکده علوم زیستی، دانشگاه خوارزمی، تهران ۱۴۹۱۱-۱۵۷۱۹، ایران (fgh@knu.ac.ir)

محمود بیدارلرد: استادیار پژوهش، بخش تحقیقات جنگل‌ها، مراتع و آبخیزداری، مرکز تحقیقات و آموزش کشاورزی و منابع طبیعی استان گیلان، سازمان تحقیقات، آموزش و ترویج کشاورزی، رشت، ایران

مهرشید ریاحی: استادیار گروه علوم گیاهی، دانشکده علوم زیستی، دانشگاه خوارزمی، تهران ۱۴۹۱۱-۱۵۷۱۹، ایران

احسان حسینی: محقق انجمن زیست‌شناسی ایران، خیابان کلهر، پلاک ۲۸۵، تهران، ایران

چکیده

جنس گل فراموشمکن، در بیشتر مناطق معتدل هر دو نیم‌کره پراکنش داشته و برخی از گونه‌های آن به عنوان گیاه زینتی به کار گرفته می‌شوند. جهت روشن نمودن روابط آرایه‌شناسی گونه‌های این جنس، دانه‌های گرده ۱۴ گونه به کمک میکروسکوپ نوری (LM) و میکروسکوپ الکترونی نگاره (SEM) مورد بررسی قرار گرفتند. سی و یک ویژگی نظیر اندازه گرده‌ها، شکل و تزیینات سطحی، نوع دریچه و تعداد و اندازه آن‌ها مورد بررسی قرار گرفتند و با کمک نرم‌افزارهای Past و IQ-TREE آنالیز و درخت‌های تبارشناختی آن ترسیم گردید. در نتیجه مشخص شد که گونه‌هایی نظیر *M. sparsiflora* و *M. lithospermifolia* و گونه‌های *M. diminuta* و *M. ramosissima* و *M. minutiflora* و *M. lithospermifolia* ۱ دیگر مورفیسم در شکل دانه‌های قرابت داشته و در یک خوش قرار می‌گیرند. همچنین، در دو گونه *M. minutiflora* و *M. lithospermifolia* با هم گرده تشخیص داده شد. آنالیز PCA و Clustering صفات گرده‌شناختی گونه‌های مطالعه شده با یکدیگر منطبق بوده و یکدیگر را تایید نمود. صفات طول محور قطبی در نمای استوایی با میکروسکوپ نوری، صفت قطر نمای استوایی یا قطبی با میکروسکوپ نوری، نسبت طول محور قطبی به محور استوایی شیارهای کاذب و صفت وجود جسام مثلثی موجود در سر قطبی دانه‌های گرده، جهت خوش‌بندی گروهی از آرایه‌ها در یک خوش‌بالرزش بوده و همچنین ساختار دانه‌های گرده گونه‌های *M. sparsiflora* *M. lithospermifolia* *M. anomala* *M. olympica* *M. propinqua* *M. diminuta* *Myosotis* sp. گونه‌ها براساس صفات دانه گرده نیز ارایه گردید. غیرموناد بودن دانه‌های گرده برای نخستین بار از گاوزبانیان در شکل تنوع دانه‌های گرده گونه ۱ *M. lithospermifolia* گزارش می‌شود.

واژه‌های کلیدی: آرایه‌شناسی، دانه گرده، درخت تبارشناختی، ریزریخت‌شناسی، گاوزبانیان

Palynological study on a number of Iranian species of *Myosotis*

Bahareh Akbarnejad: MSc Graduate, Plant Systematics, Department of Plant Sciences, Faculty of Biological Sciences, Kharazmi University, Tehran 15719-14911, Iran

Farrokh Ghahremaninejad✉: Prof., Department of Plant Sciences, Faculty of Biological Sciences, Kharazmi University, Tehran 15719-14911, Iran (fgh@knu.ac.ir)

Mahmoud Bidarlard: Research Assistant Prof., Forests and Rangelands and Watershed Research Department, Guilan Agricultural and Natural Resources Research and Education Center, Agricultural Research, Education and Extension Organization (AREEO), Rasht, Iran

Mehrshid Riahi: Assistant Prof., Department of Plant Sciences, Faculty of Biological Sciences, Kharazmi University, Tehran 15719-14911, Iran

Ehsan Hoseini: Researcher, Iranian Biology Society, No. 285, Kalhor Street, Tehran, Iran

* مستخرج از پایان‌نامه کارشناسی ارشد نگارنده نخست به راهنمایی آقایان دکتر فرخ قهرمانی نژاد و دکتر محمود بیدارلرد ارایه شده به دانشگاه خوارزمی

Summary

The genus *Myosotis*, or “forget-me-not”, has a global distribution in most of the temperate regions of both Northern and Southern hemispheres, a number of its species are used as ornamental plants. In order to clarify the taxonomic relationships of the species of this genus, pollen grains of 14 species were prepared from the T and FAR herbaria and were examined by means of a light microscope (LM) and a scanning electron microscope (SEM). Thirty-one characteristics such as pollen size, shape, surface type and the type, number and size of apertures studied and analyzed by PAST, PCA and IQ-TREE software, and subsequently, phylogenetic trees are drawn. The results indicated that, the species *M. ramosissima* and *M. diminuta* and the species *M. lithospermifolia* 1 and *M. sparsiflora* found to be closely related to each other as they were clustered together. Moreover, pollen shape dimorphism was identified in the two species of *M. lithospermifolia* 1 and *M. minutiflora* while the results of PCA analysis and clustering on the basis of palynological traits placed these species together. The characteristics of the polar axes length in the equatorial view with a light microscope and diameter of equatorial or polar axes in light microscopy, the relative length of polar axis to equatorial axis of Psedocolpi, and the presence of Ubisch bodies in the polar head of pollen grains have been found to be valuable for the clustering of taxa pollen grains of *M. lithospermifolia*, *M. sparsiflora*, *Myosotis* sp., *M. diminuta*, *M. propinqua*, *M. olympica*, and *M. anomala* were studied for the first time. The identify key is provided based on examined the pollen grains characters. The non-monad of pollen grains for the first time from *Boraginaceae* in the form of the diversity of pollen grains of the species *M. lithospermifolia* 1 was reported.

Keywords: *Boraginaceae*, micromorphology, phylogenetic tree, pollen grain, taxonomy

مقدمه

گاوزبانیان (Boraginaceae Juss.) دارای ۹۰ جنس و ۱۶۰۰ تا ۱۷۰۰ گونه در جهان است (Pourghorban *et al.* 2020). جنس گل فراموش‌مکن یا *Myosotis* L. پراکنش جهانی داشته و در بیشتر مناطق معتدل هر دو نیم‌کره شمالی و جنوبی می‌روید. گیاهان این آرایه تکنیا گل‌های نمایان می‌سازند که قابلیت کاربرد زینتی را دارند (Akbarnejad 2023). این جنس حدود ۸۰ تا ۱۰۰ گونه را شامل می‌شود (Mabberley 2008, Weigend *et al.* 2016). در فلور ایرانیکا (Riedl 1967) و فلور ایران (Khatamsaz 2002) این جنس به دو زیرجنس *Myosotis* و *Strophiostoma* (TURCZ.) Popov تقسیم می‌شود. زیرجنس *Myosotis* شامل سه سری به نام‌های *Arvenses* Popov و *Silvatica* Popov و *Myosotis* (Riedl 1967, Khatamsaz 2002) است.

مطالعات گرده‌شناسی ابزار مناسبی در پژوهش‌های سیستماتیک در بسیاری از تیره‌های گیاهی هستند (Atazadeh *et al.* 2020; Ranjbar *et al.* 2020; Mohsenzadeh *et al.* 2020). گرده در اعضای گاوزبانیان تنوع ریخت‌شناختی بالای دارد و به همین دلیل تیره مذکور یکی از تیره‌های eurypalynous (پرجور-گرده) در نظر گرفته می‌شود (Clarke 1977a). گونه‌های زیادی از گاوزبانیان را می‌توان براساس صفات دانه‌های گرده آن‌ها تشخیص داد (Clarke 1977a, Díez & Valdés 1991). بنابراین، از ریخت‌شناختی گرده می‌توان به عنوان یک ابزار طبقه‌بندی با پتانسیل بالا و خاص برای روشن کردن مسایل طبقه‌بندی این تیره استفاده نمود (Nowicke & Ridgway 1973, Nowicke & Skvarla 1974, Nowicke & Miller 1990, Taroda & Gibbs 1986) گرده‌های *Myosotis* به صورت هتروکلپیت با نوع دریچه (Apertuer) واقعی به نام colpori و متنابض با دریچه‌های کاذب (pseudocolpi) (El Ghazali & Krzywinski 1989, Hargrove & Simpson 2003, Weigend *et al.* 2016) endoaperture هستند که آن‌ها از یک دریچه داخلی کوچک‌تر به نام ektoaperture تشکیل شده‌اند (El Ghazali & Krzywinski 1989, Díez & Valdés 1991). تاکنون مطالعات زیادی درباره گرده این تیره از جمله جنس *Myosotis* در جهان صورت پذیرفته شده است (Avetisian 1956, Hargrove & Simpson 2003, Coutinho *et al.* 2012, Robertson 1989, Robertson 1992, Robertson & Lloyd 1991, Sahay 1979, Robertson & Lloyd 1993, Robertson & MacNair 1995, Brandon 2001, Meudt 2016, Volkova *et al.* 2017, Bigazzi *et al.* 2006, Retief & Van Wyk 1997, Fukuda & Ikeda 2012, Bigazzi & Selvi 1998, Bou 1968, Marticorena 1968, Clarke 1977a,b, Díez 1984, Khatamsaz 2001, Diez & Valdes 1991, Nowicke & Skvarla 1974, Attar *et al.* 2018). این مطالعات در گاوزبانیان در تعیین حدود جنس‌ها و همچنین مطالعه روندهای تکاملی در کل تیره ارزشمند بوده است (Clarke 1979a, Noroozi *et al.* 2022) و داده‌های مهمی را در توصیف گونه‌های جنس *Myosotis* و زمینه‌های دیگر مانند روندهای تکاملی در دوره Quaternary (Sahay 1979, Grau & Leins 1968, Grau & Schwab 1982, Díez & Valdés 1991) در اختیار قرار می‌دهد که برای طبقه‌بندی این جنس مفید است (Grau & Schwab 1982, Díez & Valdés 1991). بنابراین، این تحقیق با هدف انجام یک مطالعه تبارشناختی روی صفات ریزریخت‌شناختی گرده‌های برخی از گونه‌های ایرانی *Myosotis*، از جمله گونه‌هایی که قبل از مطالعه قرار نگرفته‌اند به منظور درک بهتر طبقه‌بندی این جنس در تیره موردنظر صورت پذیرفته شده است.

روش بررسی

مطالعه روی نمونه‌های هرباریومی هرباریوم‌های T دانشگاه خوارزمی واحد تهران و FAR دانشگاه خوارزمی واحد کرج صورت گرفت (جدول‌های ۱ و ۲). بساک نمونه‌ها به کمک استریوومیکروسکوپ مدل NSZ-405 جدا شدند و در یک قطره آب مقطر تقسیم و به خوبی تکان داده شدند. برای بررسی نمونه‌ها توسط میکروسکوپ نوری (LM) مدل Carl Zeiss، استولیز گرده‌ها به مدت ۱۰ دقیقه در اسید استیک ۵ درصد و سپس شستشو به مدت ۵ دقیقه در آب مقطر انجام شد. سپس نمونه‌ها به مدت ۱ دقیقه در رنگ متیل‌بلو رقیق شده با آب مقطر رنگ‌آمیزی شدند و سپس به وسیله میکروسکوپ نوری (LM) با بزرگنمایی ۱.۲۵ (kV ۲۰-۱۵) Hitachi SU3500 ۱۰۰ X OLE مورد مطالعه قرار گرفتند. برای بررسی نمونه‌ها با میکروسکوپ الکترونی نگاره (SEM) مدل SEM SU3500 Hitachi با کمک استریوومیکروسکوپ در آب مقطر تقسیم و به خوبی تکان داده شدند و پس از انتقال به آزمایشگاه مرکزی SEM دانشگاه شهید بهشتی، تصاویر آن‌ها تهیه شده با میکروسکوپ نوری (LM) و میکروسکوپ الکترونی نگاره (SEM) با نرم‌افزار Imagej ۱/۵v ۱/۵v برای بررسی صفاتی مانند طول و قطر دانه‌های گرده در میکروسکوپ نوری و طول و قطر دانه‌های گرده و طول و درجه دریچه و شیار دانه‌های گرده در میکروسکوپ الکترونی نگاره مورد مطالعه و اندازه‌گیری قرار گرفتند و صفات مورد بررسی بعد از کدگزاری، توسط نرم‌افزار Past 4/13v در ابتدا استاندارد گردیده و سپس تحلیل PCA (Principal components analysis) و ترسیم درخت آرایه‌شناختی صفات مورد مطالعه (جدول ۳) به روش UPMGA با معیار شباهت Euclidean با ۱۰۰۰ Bootstrap Namber Bidarlord ترسیم گردید (& Vitek, 2020).

شایان ذکر است که برای چهار گونه (Halbritter et al. 2016) *M. alpestris* F.W.Schmidt, (Halbritter 2016) *M. sylvatica* Hoffm. (Halbritter et al. 2016) *M. ramosissima* Rochel ex. Schultes. ۱ (Halbritter & Heigl 2020) *M. scorpioides* L. (al. 2020) از داده‌های میکروسکوپ الکترونی از سایت <https://www.paldat.org/> استفاده گردیده است.

جدول ۱- گونه‌های استفاده شده در مطالعه گونه‌شناسی میکروسکوپ نوری همراه با اطلاعات آن‌ها

Table 1. Palynological study of the species with the light microscope (LM) along with their related data

No.	TAXON	Herbarium Name	Locality	Collector/Voucher No.
1	<i>Myosotis alpestris</i> F.W.Schmidt	T	Ardabil province: Khalkhal, Sardul, 2800 m	M. Bidarlod 24739
2	<i>M. anomala</i> Riedl.	T	Gilan province: Lisar protected area, Subatan, 2200 m	M. Bidarlod 1972
3	<i>M. diminuta</i> Grau	TARI	Zanjan province: 45 km the road from Zanjan to Dandi, Morassa village, 8km toward summit of Mount Damerlu, near abandoned mine, 2510 m	M. Mahmoodi 99889
4	<i>Myosotis</i> sp.	T	Gilan province: Talesh	M. Bidarlod 24740
5	<i>M. lithospermifolia</i> 1	T	Gilan province: Lisar protected area	M. Bidarlod 24746
6	<i>M. lithospermifolia</i> (Willd.) Hornem. 2	FAR	Tehran province: Afje Zaygan, 2000 m	Without collecte 018400
7	<i>M. minutiflora</i> Boiss. & Reut.	T	Ardabil province: Khalkhal, Palangah Mt., 2600 m	M. Bidarlod 24741
8	<i>M. olympica</i> Boiss.	T	Ardabil province: Khalkhal, Palangah Mt.	M. Bidarlod 24745
9	<i>M. propinqua</i> Fisch. & C.A.Mey.	T	Mazandaran province: Sari-Semeskandeh near Velashed, 160 m	H. Bahrami 11060

10	<i>M. ramosissima</i> Rochel ex. Schultes. 2	T	Nortern Khorasan province: Esfarayen, Saluk National Park, Joz valley, 1472 m	A. Ezazi 4868
11	<i>M. scorpioides</i> L.	T	Gilan province: Lisar protected area, Subatan, 2000 m	M. Bidarlard 24742
12	<i>M. sparsiflora</i> J.C.Mikan ex Pohl.	T	Ardabil province: Khalkhal, Shahroud riverside, 1200 m	M. Bidarlard 24743
13	<i>M. stricta</i> Link ex Roem. & Schult.	T	Ardabil province: Khalkhal, Aq- Dagh Mt., 2300 m	M. Bidarlard 24744
14	<i>M. sylvatica</i> Hoffm.	T	Gilan province: Lisar protected area, Bakro Dag, 2700 m	M. Bidarlard 1984

جدول ۲- گونه‌های استفاده شده در مطالعه گرده‌شناسی میکروسکوپ الکترونی نگاره همراه با اطلاعات آنها

Table 2. Palynological study of the species with the scanning electron microscope (SEM) along with their related data

No.	Taxon	Herbarium name	Locality	Collector/Voucher No.
1	<i>Myosotis lithospermifolia</i> 1	T	Gilan province: Lisar protected area	M. Bidarlard 27746
2	<i>M. lithospermifolia</i> 2	FAR	Tehran province: Afje Zaygan, 2000 m	Without collecte 018400
3	<i>M. stricta</i>	T	Ardabil province: Khalkhal, Aq-Dagh Mt., 2300 m	M. Bidarlard 24744
4	<i>M. sparsiflora</i>	T	Ardabil province: Khalkhal, Shahroud riverside, 1200 m	M. Bidarlard 24743
5	<i>M. minutiflora</i>	T	Ardabil province: Khalkhal, Palangah Mt.	M. Bidarlard 24741
6	<i>Myosotis</i> . sp.	T	Gilan province: Talesh	M. Bidarlard 24740
7	<i>M. diminuta</i>	TARI	Zanjan province: 45 km the road from Zanjan to Dandi, Morassa village, 8 km toward summit of Mount Damerlu, near abandoned mine, 2510 m	M. Mahmoodi 99889
8	<i>M. propinqua</i>	T	Mazandaran province: Sari-Semeskandeh near Velashed, 160 m	H. Bahrami 11060
9	<i>M.olympica</i>	T	Ardabil province: Khalkhal, Palangah Mt.	M. Bidarlard 24745
10	<i>M. anomala</i>	T	Gilan province: Lisar protected area, Subatan, 2200 m	M. Bidarlard 1972

نتیجه

- بررسی شکل دانه‌های گرده با استفاده از میکروسکوپ الکترونی نگاره (SEM) و میکروسکوپ نوری (LM) در بررسی تطبیقی گرده برخی از گونه‌های *Myosotis* با کمک میکروسکوپ الکترونی نگاره (SEM) از نظر واحد گرده، تمامی گونه‌های مورد مطالعه به جز 1 *M. lithospermifolia* که دارای واحدهای گرده موناد (منفرد) و غیرموناد (چندتایی) با تعداد نامعلوم، سایر گونه‌ها دارای واحد گرده منفرد بودند. دانه‌های گرده به تغییرات ژنتیکی در ژنتوتیپ گامتوفیت و همچنین به تنش‌های محیطی غیرجهش‌زا بسیار حساس هستند و برای زنده ماندن دست به یک تغییر زده و میکروسپورهای خود را پس از میوز جدا نمی‌کنند بلکه

به صورت دوتایی و معمولاً چهارتایی (تتراد) به هم متصل باقی می‌مانند. درست برخلاف الگوی رشد معمول گرده‌ها که دیوار کالوز خود را بعد از میوز به چهار محصول هاپلوبید می‌شکنند و میکروسپورهای منفرد قبل از تبدیل به گرده بالغ جدا می‌شوند (Mulcahy 1981). تاکنون در گاو زبانیان حالت غیرموناد شدن دیده نشده، لذا برای نخستین بار در جهان در 1 *M. lithospermifolia* جنس گل فراموشم مکن، در تحقیق حاضر، حالت غیرموناد شدن و چسبیده شدن گرده‌ها با هم گزارش می‌گردد. از نظر خصوصیات و پراکندگی، همه گونه‌ها به جز 1 *M. lithospermifolia* و 2 *M. minutiflora* که تنوع گرده در شکل در آن‌ها دیده می‌شود، سایر گرده‌ها تا حدودی یکسان بودند. کلاس گرده در همه گونه‌ها شیار منفذ و موناد بود، به جز 1 *M. lithospermifolia* که هم شیار منفذ و غیرموناد با تعداد نامعلوم وجود داشت. از نظر قطبیت، گرده همه گونه‌ها به جز *M. lithospermifolia* 1 و *M. minutiflora* 1 که حالت هتروپولار و ایزوپولار داشت، مابقی *M. lithospermifolia* و *M. minutiflora* 1 که علاوه بر پرولیت، گرد نیز بودند. گرده‌های مورد مطالعه در *M. sylvatica* 2 *M. olympica* 1 *M. anomala* *M. lithospermifolia* 2 *M. propinquua* 1 *M. stricta* *M. sparsiflora* *M. scorpioides* فقط به شکل ساعت شنبه گرده‌ها ساعت شنبه شکل و مثلثی ولی در *Myosotis* sp. (Mahmoodi et al. 2015) از نظر شکل متنوع و به شکل ساعت شنبه و باسیلی شکل بودند. در *M. lithospermifolia* 1 گرده‌ها ساعت شنبه و هرمی چهار وجهی بودند. در حالی که در *M. minutiflora* گرده‌ها ساعت شنبه شکل و مثلثی ولی در نظر نمای قطبی، همه گونه‌های مورد مطالعه دارای نمای قطبی، حالت دایره‌ای داشتند، به جز *M. lithospermifolia* 1 *M. minutiflora* که برای *M. lithospermifolia* 1 *M. minutiflora* 1 *M. lithospermifolia* 2 *M. sylvatica* 1 *M. olympica* 1 *M. anomala* *M. lithospermifolia* 2 *M. propinquua* 1 *M. stricta* *M. sparsiflora* *M. scorpioides* سه‌وجهی و دایره‌ای بود. در بررسی تزیینات شکل سطح گرده توسط میکروسکوپ نوری (LM)، همه گونه‌ها صاف بودند (جدول ۳).

- بررسی دانه‌های گرده براساس دریچه با استفاده از میکروسکوپ الکترونی نگاره (SEM)

سیستم‌های دریچه‌ای در همه گونه‌ها، شش هتروکولپیت بود، اما در دو گونه 1 *M. minutiflora* و *M. lithospermifolia* به دلیل تنوع در گرده، علاوه بر شش هتروکولپیت (دریچه با بیش از یک نوع شیار)، دو مدل دیگر نیز در بررسی تاخوردگی‌ها (گرده خشک) دیده شد و دریچه‌های همه گونه‌ها فروفتته و شیار منفذها دو حالت endoaperture و ektoaperture دارند. تعداد دریچه‌ها در همه گونه‌ها به جز گونه 1 *M. lithospermifolia* که دارای تنوع گرده‌ای بود، یک نوع دارای سه دریچه و در یک نوع تعداد دریچه نامشخص و گونه‌های دیگر سه دریچه داشتند. نوع دریچه‌ها در تمامی گونه‌های مورد مطالعه شیار منفذ و از نظر وضعیت دریچه تمامی گونه‌های مورد مطالعه شیار منفذ [دریچه مرکب مشکل از یک شیار (اکتودیافراگم) همراه با یک دریچه داخلی با اندازه و شکل متغیر] دارای سه شیار منفذی بودند. در بررسی ویژگی‌های دیگر دریچه گرده همه گونه‌ها مارگی، کشیده و هترودیافراگم بودند. نوع شیار سطحی (colpus) در تمامی گونه‌های مورد مطالعه کاذب بود و تعداد آن‌ها در تمامی گونه‌های مورد مطالعه به جز گونه 1 *M. lithospermifolia* که دارای تنوع گرده‌ای بود، در یک نوع سه عدد و در نوع دیگر تعداد نامعلوم بود. بقیه گونه‌ها دارای سه دریچه کاذب بودند (جدول ۳).

- بررسی دانه‌های گرده براساس اندازه با استفاده از میکروسکوپ نوری (LM)

در بررسی اندازه‌گیری‌های انجام شده توسط میکروسکوپ نوری (LM) توسط نرم‌افزار ImageJ، از نظر کوتاهترین محور قطبی در نمای استوایی، بیشترین متعلق به *M. lithospermifolia* با اندازه ۹ میکرومتر و کوچکترین متعلق به *M. anomala* و *M. sparsiflora* با اندازه ۴ میکرومتر بود. در اندازه‌گیری طولانی‌ترین محور قطبی در نمای استوایی، بیشترین متعلق به *M. lithospermifolia* 2 با اندازه ۲ میکرومتر بود. در اندازه‌گیری قطر در نمای استوایی یا قطبی، بیشترین متعلق به *M. dimmiuta* با اندازه ۵ میکرومتر بود. در بررسی کوتاهترین قطر در نمای استوایی یا قطبی، بیشترین متعلق به *M. sparsiflora* ۱ میکرومتر و از نظر طولانی‌ترین قطر در نمای استوایی یا قطبی، بزرگترین متعلق به *M. anomala* و *M. sparsiflora* با اندازه ۶ میکرومتر و کوچکترین متعلق به *M. sylvatica* *M. alpestris* *M. anomala* *M. propinqua* *M. sparsiflora* و *M. ramosissima* با اندازه ۲ میکرومتر بود (جدول ۳).

- بررسی دانه‌های گرده براساس اندازه با استفاده از میکروسکوپ الکترونی نگاره (SEM)

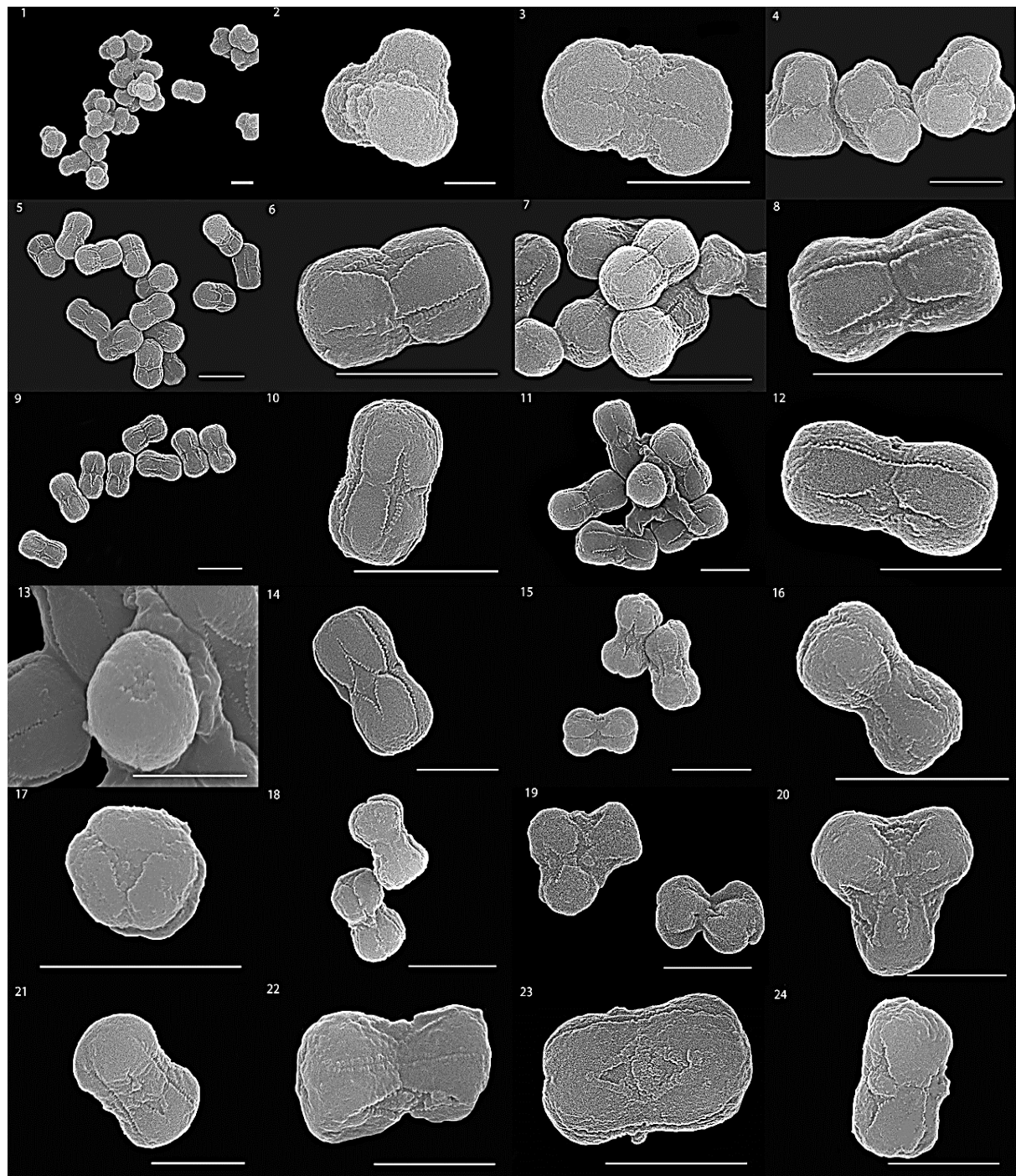
در اندازه‌گیری‌های انجام شده توسط میکروسکوپ الکترونی نگاره (SEM) و نرم‌افزار ImageJ، از نظر کوتاهترین محور قطبی در نمای استوایی، بزرگترین متعلق به *M. ramosissima* ۱ با اندازه ۹/۵ میکرومتر و کوچکترین متعلق به *M. sparsiflora* ۴/۸۲۴ با اندازه ۴ میکرومتر بود. از نظر طولانی‌ترین محور قطبی در نمای استوایی، بزرگترین متعلق به *M. ramosissima* ۱ با اندازه ۱۰/۸۰۶ میکرومتر و

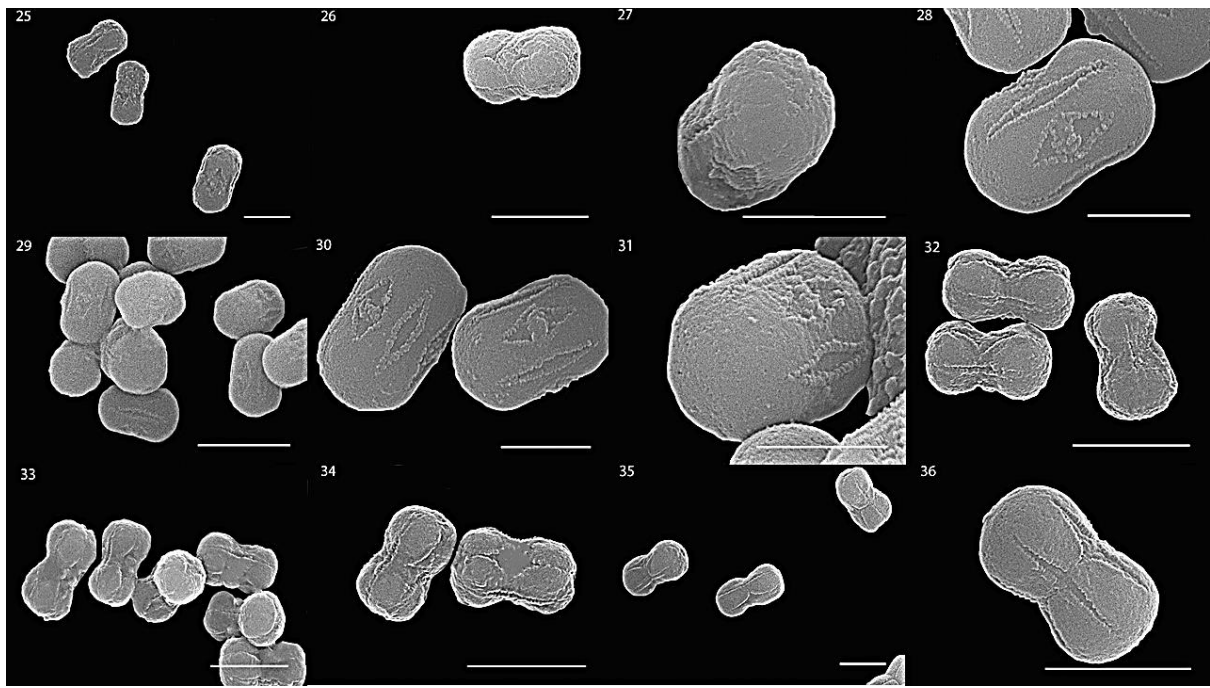
کوچکترین متعلق به ۲ *M. lithospermifolia* با اندازه ۵/۵۱۵ میکرومتر بود. در اندازه‌گیری کوتاه‌ترین قطر در نمای استوایی یا قطبی، بزرگترین متعلق به گونه ۱ *M. ramosissima* با اندازه ۶/۲۵۴ میکرومتر و کوچکترین قطر در نمای استوایی یا قطبی، بزرگترین متعلق به ۲ *M. lithospermifolia* با اندازه ۲/۰۵۶ میکرومتر بود. در اندازه‌گیری طولانی‌ترین قطر در نمای استوایی یا قطبی، بزرگترین متعلق به ۱ *M. ramosissima* با اندازه ۶/۷۴۱ میکرومتر و کوچکترین متعلق به *M. sparsiflora* با اندازه ۱/۹۸۵ میکرومتر بود. در بررسی طولانی‌ترین محور قطبی دریچه در نمای استوایی، بزرگترین متعلق به *M. scorpioides* با اندازه ۸/۱۴۸ میکرومتر و کوچکترین متعلق به *M. sparsiflora* با اندازه ۲/۶ میکرومتر بود. در مطالعه طولانی‌ترین قطر دریچه در نمای استوایی یا قطبی، بزرگترین متعلق به ۱ *M. ramosissima* با اندازه ۳/۵۲۶ میکرومتر و کوچکترین متعلق به ۲ *M. lithospermifolia* با اندازه ۰/۹۵۷ میکرومتر بود. در بررسی طولانی‌ترین محور قطبی شیار کاذب در نمای استوایی، بیشترین متعلق به ۱ *M. ramosissima* با اندازه ۹/۸۵۹ میکرومتر و کوچکترین متعلق به *M. sparsiflora* با اندازه ۲/۰۰۴ میکرومتر و در مطالعه شیار کاذب طولانی‌ترین قطر در استوا یا نمای قطبی، بزرگترین متعلق به *M. alpestris* با اندازه ۱/۵۲۸ میکرومتر و کوچکترین متعلق به *M. sparsiflora* با اندازه ۱/۰۷ میکرومتر بود (جدول ۳).

- بررسی تزیین و ساختار گرده‌ها با استفاده از میکروسکوپ الکترونی نگاره (SEM)

در مطالعه تزیین گرده در *M. olympica M. anomala M. alpestris M. scorpioides M. ramosissima ۱ M. sylvatica M. lithospermifolia ۲ M. stricta M. sparsiflora M. diminuta M. propinqua M. sylvatica M. minutiflora M. lithospermifolia M. lithospermifoli ۲ M. stricta M. sparsiflora Myosotis sp. M. propinqua M. olympica M. alpestris M. scorpioides M. M. diminuta M. propinqua M. olympica M. anomala M. ramosissima ۱ M. lithospermifolia ۱ و M. lithospermifolia ۲ M. stricta sparsiflora M. minutiflora Myosotis sp. ۲ M. stricta sparsiflora* حالت صاف مشاهده گردید (جدول ۳).

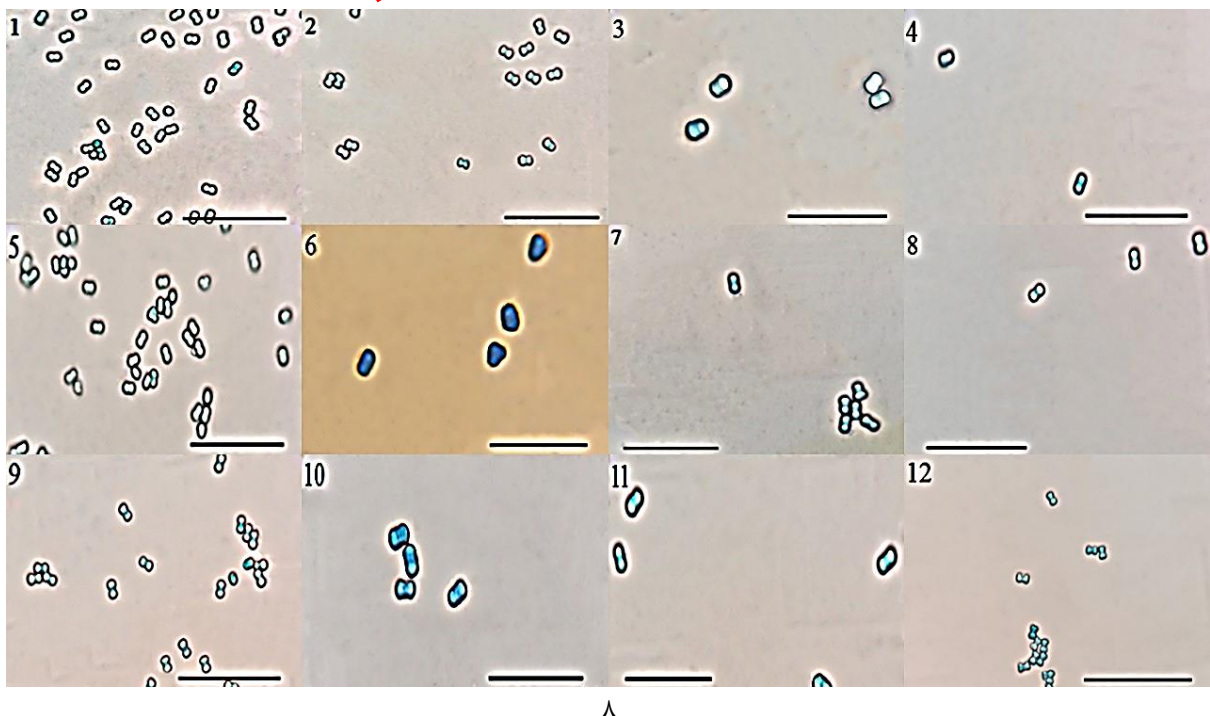
شکل گرده‌های مورد مطالعه هم در میکروسکوپ الکترونی نگاره و هم در میکروسکوپ نوری در ۱ *M. lithospermifolia* و *M. lithospermifolia* به حالت dimorphism بود (شکل ۱، تصاویر ۱۰، ۲۰، ۲۱ و ۲۲ و شکل ۲ تصاویر ۵ و ۶). وجود dimorphism در شکل تاکنون در گرده‌های جنس *Myocotis* گزارش نشده اما وجود لین حالت در اندازه گرده‌های سایر جنس‌های گاوزبانیان گزارش شده است. به عنوان مثال گندرز (Ganders 1979) وجود dimorphism در اندازه گرده‌های *Lithospermum cobrense* Greene exhibits گزارش داد. مثالی از وجود dimorphism در شکل گرده‌ها را می‌توان در روناسیان (Rubiaceae Juss.) نیز مشاهده نمود (Baker 1956).

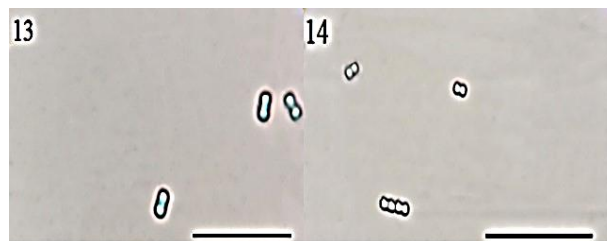




شکل ۱ - دانه گردی تهیه شده با میکروسکوپ الکترونی نگاره (SEM) جنس *Myosotis* نگاره (SEM) ۱-۴ *M. lithospermifolia* ۵-۱۰ *M. lithospermifolia* ۱۱-۱۴ *Myosotis* sp. ۱۵-۲۱ *M. stricta* ۲۲-۲۸ *M. sparsiflora* ۲۹-۳۱ *M. minutiflora* ۳۲-۳۶ *M. olympica* ۳۷-۴۱ *M. anomala* (مقیاس = ۵ میکرومتر).

Fig. 1. Scanning electron microscope (SEM) micrographs of *Myosotis* pollen grains. 1–4: *M. lithospermifolia* 1, 5–10: *M. lithospermifolia* 2, 11–14: *M. stricta*, 15–18: *M. sparsiflora*, 19–22: *M. minutiflora*, 23–28: *Myosotis* sp., 29–31: *M. diminuta*, 32–34: *M. propinqua*, 35–38: *M. olympica*, 39–41: *M. anomala* (Bar = 5 μm).





شکل ۲- تصاویر میکروسکوپ نوری (LM) گونه‌های *Myosotis* با بزرگنمایی ۱۰۰ برابر. ۱: *M. alpestris*, ۲: *M. anomala*, ۳: *M. olympica*, ۴: *M. minutiflora*, ۵: *M. lithospermifolia* ۱, ۶: *M. lithospermifolia* ۲, ۷: *M. diminuta*, ۸: *M. sparsiflora*, ۹: *M. sylvatica*, ۱۰: *M. stricta*, ۱۱: *M. palustris*, ۱۲: *M. ramosissima* ۲, ۱۳: *M. propinqua*, ۱۴: *M. sparsiflora* ۲ (مقیاس = ۵۰ میکرومتر).

Fig. 2. Pollen grains of *Myosotis* species by light microscope (LM) with 100x. 1: *M. alpestris*, 2: *M. anomala*, 3: *M. diminuta*, 4: *Myosotis* sp., 5: *M. lithospermifolia* 2, 6: *M. lithospermifolia* 1, 7: *M. minutiflora*, 8: *M. olympica*, 9: *M. propinqua*, 10: *M. ramosissima* 2, 11: *M. palustris*, 12: *M. sparsiflora*, 13: *M. stricta*, 14: *M. sylvatica* (Bar = 50 μ m).

جدول ۳- مقایسه صفات گرده‌های گونه‌های مطالعه شده با میکروسکوپ نوری (LM) و میکروسکوپ الکترونی نگاره (SEM). صفات: shortest polar) SPAEV(LM) ‘(dispersal unit and peculiaritiesd) DIU/PEC ‘(apertural system) APS ‘(pollen unit) POU shortest SDEPV (LM) ‘(longest polar axis in equatorial view (LM) um) LPAEV (LM) ‘(axis in equatorial view (LM) um ‘(longest diameter in equatorial or polar view (LM) um LDEPV (LM) diameter in equatorial or polar view (LM) um ‘(longest polar axis in equatorial view um) LPAEV (SEM) ‘(shortest polar axis in equatorial view um) SPAEV (SEM) longest diameter in equatorial or) LDEPV (SEM) ‘(shortest diameter in equatorial or polar view um) SDEPV (SEM) DO ‘(outline in polar view) OPV ‘(shape) SHA ‘(P/E-ratio) P/ER ‘(polarity) POL ‘(pollen class) POC ‘(polar view um APC ‘(aperture type) APT ‘(aperture number) APN ‘(infoldings (dry pollen) INF ‘(dominant orientation (LM) (LM) aperture longest polar axis in) ALPAEV (SEM) ‘(surface polar) SUP ‘(aperture peculiarities) APP ‘(aperture condition) psedocolpi) PSN ‘(aperture longest diameter in equatorial or polar view um) ALDEPV (SEM) ‘(equatorial view um PLDEPV (SEM) ‘(psedocolpi longest polar axis in equatorial view um) PLPAEV (SEM) ‘(colpus type) COT ‘(number .(Ubisch bodies) UBB و (ornamentation SEM) ORN (SEM) ‘(psedocolpi longest diameter in equatorial or polar view um)

Table 3. Comparison of pollen characteristics of the studied species with light microscope (LM) and scanning electron microscope (SEM). Characteristics: POU (pollen unit), APS (apertural system), DIU/PEC (dispersal unit and peculiarities), SPAEV (LM) (shortest polar axis in equatorial view (LM) um), LPAEV (LM) (longest polar axis in equatorial view (LM) um, SDEPV (LM) (shortest diameter in equatorial or polar view (LM) um, LDEPV(LM) (longest diameter in equatorial or polar view(LM) um), SPAEV (SEM) (shortest polar axis in equatorial view um), LPAEV (SEM) (longest polar axis in equatorial view um), SDEPV (SEM) (Shortest diameter in equatorial or polar view um, LDEPV (SEM) (longest diameter in equatorial or polar view um), POC (pollen class), POL (polarity), P/ER (P/E-ratio), SHA (shape), OPV (outline in polar view), DO (LM) (dominant orientation (LM), INF (infoldings (dry pollen), APN (aperture number), APT (aperture type), APC (aperture condition), APP (aperture peculiarities), SUP (surface polar), ALPAEV (SEM) (aperture longest polar axis in equatorial view um), ALDEPV (SEM) (aperture longest diameter in equatorial or polar view um), PSN (psedocolpi number), COT (colpus type), PLPAEV (SEM) (psedocolpi longest polar axis in equatorial view um), PLDEPV (SEM) (psedocolpi longest diameter in equatorial or polar view um), ORN (SEM) (ornamentation SEM), and UBB (Ubisch bodies).

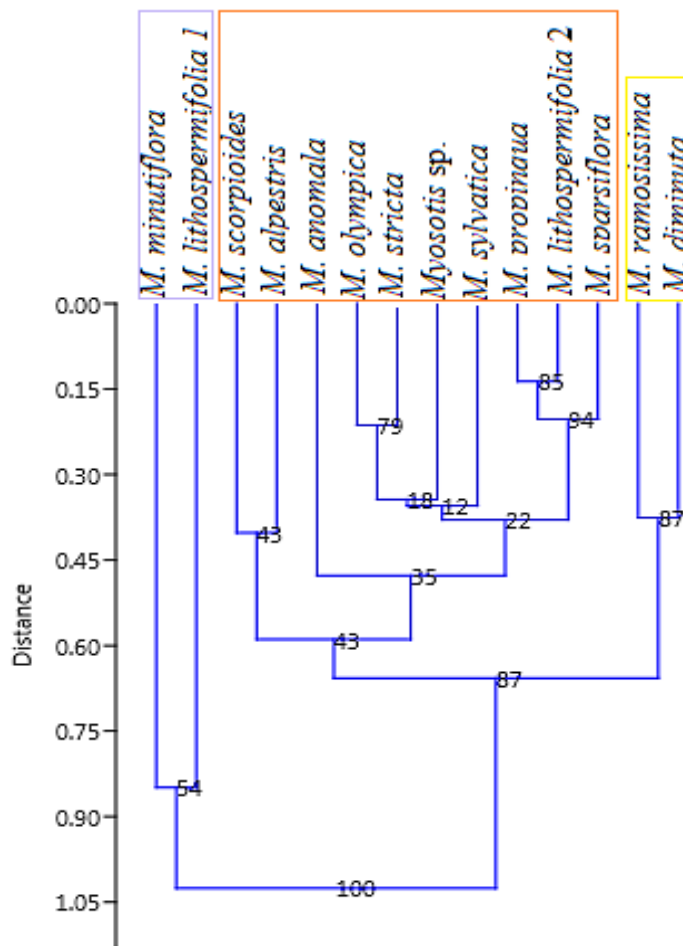
TAXON	POU-APS	DIU/PEC	SPAEV (LM)- LPAEV V (LM)	SDEPV (LM)- LDEPV (LM)	SPAEV (SEM)- LPAEV (SEM)	SDEPV (SEM)- LDEPV (SEM)	POC-POL	P/ER-SHA
<i>Myosotis scorpioides</i>	Monad- 6Heterocolpate	Monad	0.008- 0.009	0.003- 0.004	6.556-7.14	2.303- 2.58	Colporate/monad- isopolar	Prolate-hourglass- shaped
<i>M. propinqua</i>	Monad- 6Heterocolpate	Monad	0.006- 0.007	0.002- 0.002	5.081-5.648	2.508- 2.797	Colporate/monad- isopolar	Prolate-hourglass- shaped
<i>M. sparsiflora</i>	Monad- 6Heterocolpate	Monad	0.004- 0.005	0.001- 0.002	4.824-5.747	2.802- 1.985	Colporate/monad- isopolar	Prolate-hourglass- shaped
<i>M. stricta</i>	Monad- 6Heterocolpate	Monad	0.008- 0.009	0.003- 0.004	8.05-8.696	3.88- 4.076	Colporate/monad- isopolar	Prolate-hourglass- shaped
<i>M. lithospermifolia</i> 2	Monad- 6Heterocolpate	Monad	0.005- 0.006	0.003- 0.003	4.905-5.515	2.056- 2.87	Colporate/monad- isopolar	Prolate-hourglass- shaped
<i>M. sylvatica</i>	Monad- 6Heterocolpate	Monad	0.005- 0.006	0.002- 0.003	7.296-7.949	3.704- 4.046	Colporate/monad- isopolar	Prolate-hourglass- shaped/bacilli-shaped
<i>M. ramosissima</i> 1 for SEM and 2 LM	Monad- 6Heterocolpate	Monad	0.009- 0.01	0.004- 0.005	9.5-10.806	6.254- 6.741	Colporate/monad- isopolar	Prolate-hourglass- shaped/bacilli-shaped
<i>M. alpestris</i>	Monad- 6Heterocolpate	Monad	0.005- 0.006	0.002- 0.002	6.954-7.394	3.128- 3.93	Cad-isopolar	Prolate-hourglass- shaped/bacilli-shaped
<i>M. anomala</i>	Monad- 6Heterocolpate	Monad	0.004- 0.005	0.001- 0.002	8.224-8.546	5.246- 5.944	Colporate/monad- isopolar	Prolate-hourglass- shaped/bacilli-shaped
<i>M. olympica</i>	Monad- 6Heterocolpate	Monad	0.007- 0.007	0.003- 0.003	6.78-7.404	3.062- 3.728	Colporate/monad- isopolar	Prolate-hourglass- shaped/bacilli-shaped
<i>M. diminuta</i>	Monad- 6Heterocolpate	Monad	0.009- 0.01	0.005- 0.006	9.243-9.512	6.189- 6.439	Colporate/monad- isopolar	Prolate-hourglass- shaped/bacilli-shaped
<i>Myosotis</i> sp.	Monad- 6Heterocolpate	Monad	0.006- 0.007	0.003- 0.003	7.251-7.689	3.789- 4.29	Colporate/monad- isopolar	Prolate-hourglass- shaped/bacilli-shaped
<i>M. minutiflora</i>	Monad- 6Heterocolpate/ ?	Monad	0.009- 0.009	0.003- 0.004	7.173-8.369	4.249- 4.32	Colporate/monad- heteropolar/isopolar	Prolate/spheroidal- hourglass-shaped/ outline triangular
<i>M. lithospermifolia</i> 1	Monad/ non monad unknown- 6Heterocolpate/ ?	Monad/ non monad diversity	0.009- 0.01	0.003- 0.004	7.735/ 5.627/ 8.281/ 6.984	4.206/4/ 128/ 4.598/4/ 486	Colporate/non monad unknown- heteropolar/isopolar	Prolate/spheroidal- hourglass- shaped/pyramidal tetrahedron

Not Final

جدول ۳ (ادامه) - مقایسه صفات گرده‌های گونه‌های بررسی شده با میکروسکوپ نوری (LM) و میکروسکوپ الکترونی نگاره (SEM)

Table 3 (contd). Comparison of pollen characteristics of the studied species with light microscope (LM) and scanning electron microscope (SEM)

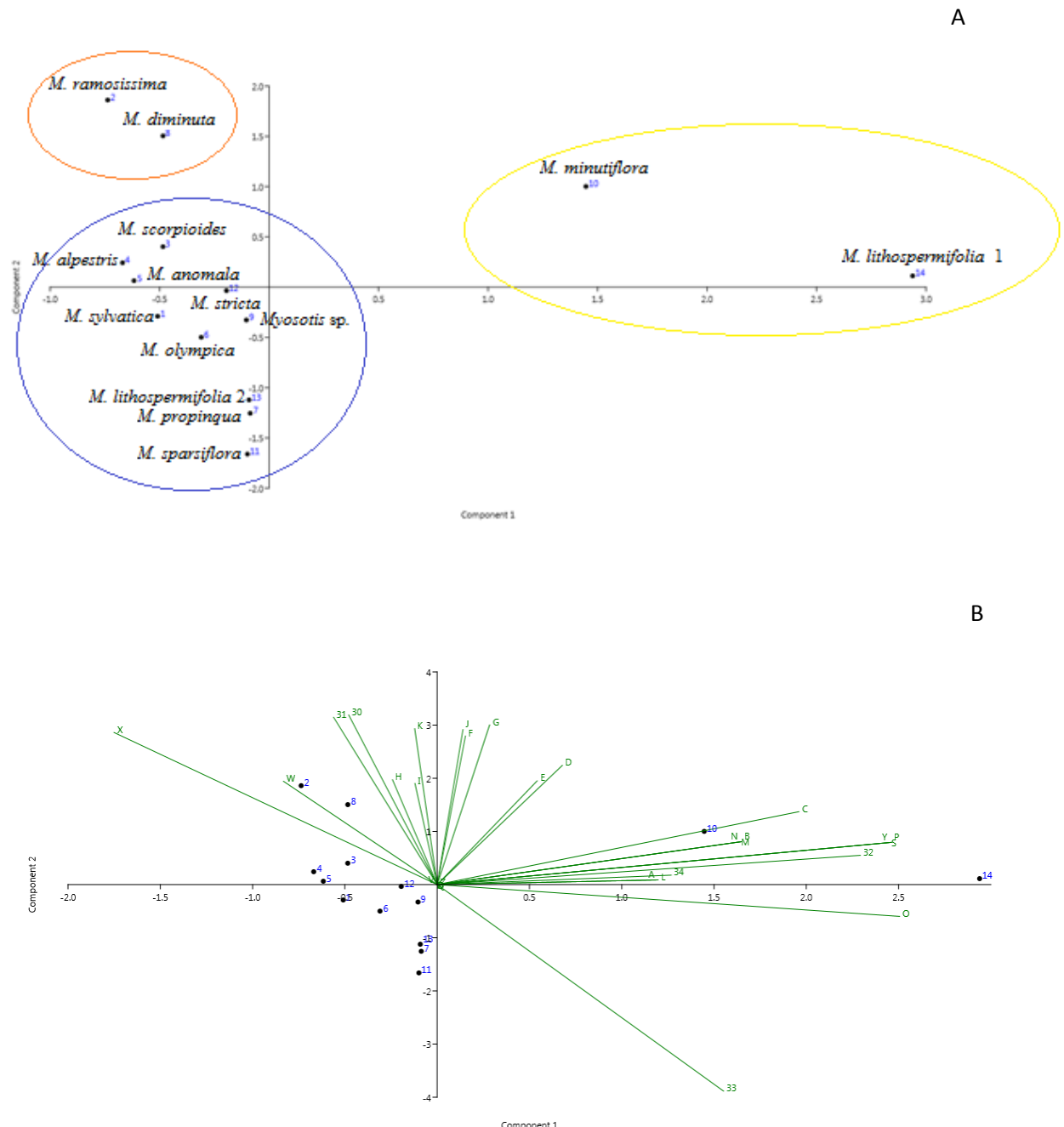
TAXON	OPV-DO (LM)	INF-APN	APT-APC	APP-SUP	ALPAEV (SEM)- ALDEPV (SEM)	PSN-COT	PLPAEV (SEM)- PLDEPV (SEM)	ORN (SEM)- UBB
<i>Myosotis scorpioides</i>	Circular shape-psilate	Aperture (s) sunken-3	Colporus-corporate/tricolporus	Lalongate, margo, pseudocolpus, heteroaperturate-polar area with triangular tenuitas	8.148-2.787	3-pseudo colpus	8.714-0.931	Psilate, perforate-present
<i>M. propinqua</i>	Circular shape-psilate	Aperture (s) sunken-3	Colporus-corporate/tricolporus	Lalongate, margo, pseudocolpus, heteroaperturate-psilate, perforate	3.074-1.035	3-pseudo colpus	3.318-0.195	Psilate, perforate-present
<i>M. sparsiflora</i>	Circular shape-psilate	Aperture (s) sunken-3	Colporus-corporate/tricolporus	Lalongate, margo, pseudocolpus, heteroaperturate-psilate, perforate	2.6-1.072	3-pseudo colpus	2.004-0.107	Psilate, perforate-present
<i>M. stricta</i>	Circular shape-psilate	Aperture (s) sunken-3	Colporus-corporate/tricolporus	Lalongate, margo, pseudocolpus, heteroaperturate-psilate, perforate	5.235-1.85	3-pseudo colpus	7.144-0.188	Psilate, perforate-present
<i>M. lithospermifolia</i> 2	Circular shape-psilate	Aperture (s) sunken-3	Colporus-corporate/tricolporus	Lalongate, margo, pseudocolpus, heteroaperturate-psilate, perforate	3.065-0.957	3-pseudo colpus	3.669-0.253	Psilate, perforate-present
<i>M. sylvatica</i>	Circular shape-psilate	Aperture (s) sunken-3	Colporus-corporate/tricolporus	Lalongate, margo, pseudocolpus, heteroaperturate-polar area with triangular tenuitas	3.86-2.225	3-pseudo colpus	5.067-0.714	Psilate, perforate-present
<i>M. ramosissima</i> 1 for SEM and 2 LM	Circular shape-psilate	Aperture (s) sunken-3	Colporus-corporate/tricolporus	Lalongate, margo, pseudocolpus, heteroaperturate-psilate, perforate	6.575-3.536	3-pseudo colpus	9.859-0.576	Psilate, perforate-?
<i>M. alpestris</i>	Circular shape-psilate	Aperture (s) sunken-3	Colporus-corporate/tricolporus	Lalongate, margo, pseudocolpus, heteroaperturate-polar area with triangular tenuitas	6.554-2.237	3-pseudo colpus	7.683-1.528	Psilate, perforate-present
<i>M. anomala</i>	Circular shape-psilate	Aperture (s) sunken-3	Colporus-corporate/tricolporus	Lalongate, margo, pseudocolpus, heteroaperturate-psilate, perforate	4.061-2.011	3-pseudo colpus	6.001-0.407	Psilate, perforate-?
<i>M. olympica</i>	Circular shape-psilate	Aperture (s) sunken-3	Colporus-corporate/tricolporus	Lalongate, margo, pseudocolpus, heteroaperturate-psilate, perforate	5.35-1.407	3-pseudo colpus	5.899-0.152	Psilate, perforate-present
<i>M. diminuta</i>	Circular shape-psilate	Aperture (s) sunken-3	Colporus-corporate/tricolporus	Lalongate, margo, pseudocolpus, heteroaperturate-psilate, perforate	4.264-1.688	3-pseudo colpus	5.905-0.84	Psilate, perforate-?
<i>Myosotis</i> sp.	Circular shape-psilate	Aperture (s) sunken-3	Colporus-corporate/tricolporus	Lalongate, margo, pseudocolpus, heteroaperturate-psilate	3.214-1.943	3-pseudo colpus	3.832-0.456	Psilate-present
<i>M. minutiflora</i>	Circular shape/T-shape-psilate	Aperture (s) sunken-3/3	Colporus-corporate/tricolporus	Lalongate, margo, pseudocolpus, heteroaperturate-psilate	3.119/ 3-1.656/ 1.663	3/3-pseudo colpus	6.509/ ?-0.302/ ?	Psilate-?
<i>M. lithospermifolia</i> 1	Circular shape/trihedral-psilate	Aperture (s) sunken-3/?	Colporus-corporate/tricolporus	Lalongate, margo, pseudocolpus, heteroaperturate-psilate	3.472/ ?-?/ ?	3/-pseudo colpus	4.851/-0.633/ ? ?	Psilate-present/?



شکل ۳- درخت تبارشناختی گونه‌های *Myosotis* توسط صفات بررسی شده در مطالعات میکروسکوپ نوری (LM) و میکروسکوپ الکترونی نگاره (SEM) با استفاده از نرم‌افزار Past

Fig. 3. Phylogenetic tree of the species of *Myosotis* by traits obtained by light (LM) and scanning electron microscopy (SEM) studies using Past software.

در مطالعه روابط آرایه‌شناختی صفات گرده در گونه‌های جنس *Myosotis* می‌توان گفت که صفات بررسی شده روی گونه‌های مختلف در تحقیق حاضر، در سه خوشة جدا گردید به این ترتیب که *M. lithospermifolia 1* و *M. minutiflora* در یک خوشه، *M. olympica* *M. anomala* *M. alpestris* *M. scorpioides* *M. diminuta* و *M. ramosissima* در یک خوشه و همچنین *M. diminuta* و *M. ramosissima* در یک خوشه (در اینجا همه گونه‌ها به صورت *M. lithospermifolia 2* و *M. stricta* *M. sparsiflora* *Myosotis* sp., *M. propinqua* تکنیا) مجزا حدبندی شدند. میزان ضریب صحت درخت رسم شده با استفاده از شباهت Euclidean به روش UPGMA ۹۱۱۴ بود که میزان مناسبی درنظر گرفته شد به این صورت که هر چه این عدد به ۱ نزدیک‌تر باشد حاکی از مناسب بودن صفات انتخابی و درست بودن رسم درخت تبارشناختی در بررسی حاضر است. علت تفاوت در قرابت دو لوکالیته ۱ و ۲ در درخت تبارشناختی را می‌توان وجود دی‌مورفیسم دانه‌های گرده در لوکالیته استان گیلان این گونه عنوان داشت.



شكل ٤ - آنالیز PCA صفات مورد مطالعه (جدول ٤).
 :٤ *M. scorpioides* :٣ *M. ramosissima* :٢ *Myosotis sylvatica* :١ *M. minutiflora* :١٠ *Myosotis* sp. :٩ *M. diminuta* :٨ *M. propinqua* :٧ *M. olympica* :٦ *M. anomala* :٥ *M. alpestris* :٦ *M. lithospermifolia* ١ :١٤ *M. lithospermifolia* ٢ :٣ *M. stricta* :١٢ *M. sparsiflora* :١١

Fig. 4. PCA analysis of studied traits (Table 4). 1: *M. sylvatica*, 2: *M. ramosissima*, 3: *M. scorpioides*, 4: *M. alpestris*, 5: *M. anomala*, 6: *M. olympica*, 7: *M. propinqua*, 8: *M. diminuta*, 9: *Myosotis* sp., 10: *M. minutiflora*, 11: *M. sparsiflora*, 12: *M. stricta*, 13: *M. lithospermifolia* 2, 14: *M. lithospermifolia* 1.

در شکل ۴A نمودار فوق گونه‌ها در سه خوشة قرار گرفتند. گونه‌های *M. minutiflora* و *M. lithospermifolia* 1 در یک خوشة، گونه‌های *M. alpestris* ، *M. scorpioides* *M. diminuta* در یک خوشة و همچنین گونه‌های *M. ramosissima* و *M. lithospermifolia* 2 در یک خوشة که گونه‌های *M. stricta* *M. sparsiflora* *Myosotis* sp. *M. propinqua* *M. olympica* *anomala* همه به صورت تکینیا با مونوفیلیتک حدیندی، شدنده، نتیجه خوشبندی، صفات مطالعه حاضر ا تابید نمود.

در شکل ۴B صفت C (واحد پراکندگی و ویژگی‌ها) برای جداسازی گونه *M. minutiflora* گونه S (تعداد دریچه‌ها)، P (طرح کلی در نمای قطبی)، Y (تعداد شیارهای کاذب) و ۳۲ (تزریقات دانه‌های گرده با میکروسکوب الکترونی نگاره) برای جداسازی گونه ۱ *M. lithospermifolia* صفت X (بیشترین قطر دریچه در نمای استوایی یا قطبی) برای جداسازی گونه‌های به ترتیب *M. diminuta* و *M. anomala* و *M. alpestris* *M. scorpioides* *ramosissima* دریچه، ۳۱ (طولانی‌ترین قطر در نمای استوایی یا قطبی) و ۳۰ (طولانی‌ترین محور قطبی در نمای استوایی) برای جداسازی *M. diminuta* و *ramosissima* مناسب بودند (جدول ۴).

در بررسی صورت گرفته در خصوص نقش صفات بر جداسازی مناسب آرایه‌های مورد بررسی مشخص گردید که صفات کوتاه‌ترین محور قطبی در نمای استوایی و طولانی‌ترین محور قطبی در نمای استوایی با میکروسکوب نوری *M. stricta* و *M. scorpioides* را در یک *M. propinqua* *M. anomala* *M. sylvatica* و *M. olympica* *M. lithospermifolia* ۲ *M. alpestris* و *M. sparsiflora* خوشی جدا کرد. همچنین، صفت طولانی‌ترین قطر در نمای استوایی یا قطبی با میکروسکوب نوری توانست *M. sylvatica* و *M. olympica* *M. stricta* و *M. scorpioides* را در سه خوشی جدا نماید. صفت طولانی‌ترین محور قطبی در استوایی شیار کاذب، توانست *M. olympica* و *sylvatica* که هر دو متعلق به سری *Silvatica* بودند را در یک خوشی جدا نماید و صفت وجود اجسام مثلثی موجود در سر قطبی دانه‌های گرده همه گونه‌های مورد مطالعه به جز *M. anomala* و *M. ramosissima* را در یک خوشی جدا سازد.

جدول ۴- کدگذاری صفات مورد مطالعه آنالیز PCA در *Myosotis*

Table 4. Coding of traits studied by PCA analysis in *Myosotis*

Longest polar axis in equatorial view (LM) um	Shortest polar axis in equatorial view (LM) um	Dispersal unit and peculiarities	Apertural System	Pollen unit	Characteristics
E	D	C	B	A	Codes
Shortest diameter in equatorial or polar view (SEM) um	Longest polar axis in equatorial view (SEM) um	Shortest polar axis in equatorial view (SEM) um	Longest diameter in equatorial or polar view (LM) um	Shortest diameter in equatorial or polar view (LM) um	Characteristics
J	I	H	G	F	Codes
Shape	P/E-ratio	Polarity	Pollen class	Longest diameter in equatorial or polar view (SEM) um	Characteristics
O	N	M	L	K	Codes
Aperture type	Aperture number	Infoldings (dry pollen)	Dominant orientation (LM)	Outline in polar view	Characteristics
T	S	R	Q	P	Codes
Psedocolpi number	Aperture longest diameter in equatorial or polar view (SEM) um	Aperture longest polar axis in equatorial view (SEM) um	Aperture peculiarities	Aperture condition	Characteristics
Y	X	W	V	U	Codes
Ubisch bodies	Ornamentation (SEM)	Psedocolpi longest diameter in equatorial or polar view (SEM) um	Psedocolpi longest polar axis in equatorial view (SEM) um	Colpus type	Characteristics
33	32	31	30	Z	Codes
				Surface polar	Characteristics
				34	Codes

بحث

در بین جنس‌های گاوزبانیان، کوچک‌ترین دانه گرده در *Cryptantha* Lehm. ex G.Don و *Trigonotis* Steven *Myosotis* می‌شود. دانه‌های گرده در این تیره غالباً پرولیت و دمبلی شکل است (Weigend *et al.* 2014). با وجود تنوع بالای دانه‌های گرده در بین گروه‌های مختلف گیاهان تیره مذکور، صفات دانه گرده در آرایه‌شناسی تیره حتی در سطوح پایین‌تر نیز مفید باشد (Noroozi *et al.* .(2021)

گرده‌های گیاهان مورد مطالعه در تمامی گونه‌ها منفرد، ۶-هتروکولپیت، شیار منفذی، موناد، ایزوپولار، پرولیت، صاف، شیار منفذ/تری شیار منفذی، کشیده، مارگو، با شیار سطحی کاذب، سوراخدار و با دریچه مرکب بودند. در مقابل، ۱ *M. lithospermifolia* و *M. alpestris* *M. anomala* *M. olympica* *M. diminuta* *M. minutiflora* دارای تنوع شکل گرده‌ای درون گونه‌ای و *M. sylvatica* *M. ramosissima* به دلیل تفاوت در قطر، دارای تنوع گرده‌ای درون گونه‌ای در اندازه بودند. در مطالعه حاضر، حالت چسبیدگی و غیرموناد شدن با تعداد نامعلوم در گرده گونه ۱ *M. lithospermifolia* لوکالیته گیلان برای نخستین بار در گاوزبانیان گزارش شد. Erdtman (1945) این حالت را در ۴۱ تیره از گیاهان گل‌دار گزارش داد. باربر (Barber 1942) حالت چسبیدگی دانه‌های گرده را نه به حالت دوتایی یا چهارتایی بلکه به صورت پولینیا مشکل از صدها دانه گرده در استبرقیان (Asclepiadaceae)، ثعلبیان (Mimosaceae) و کهوریان (Orchidaceae) (Borkh. گزارش داد.

نتایج دیز والدز (Díez & Valdez 1991) روی ریخت‌شناسی گرده قبایل *Boraginaceae*, *Cynoglossaceae* و *Eritrichieae* در شبه‌جزیره ایرانی بیان داشت که گرده‌های *Myosotis* ها بیضوی تا مستطیلی فشرده و یا غیرفسرده در ناحیه استوایی و در نمای قطبی شش‌ضلعی بودند و نسبت قطب به استوا را ساب پرولیت تشخیص داده بودند که این نتایج در گرده‌های مورد مطالعه ایران مشاهده نشد. شکل گرده‌های *M. lithospermifolia* توسط خاتم‌ساز (Khatamsaz 2002) ایزوپولار و پرولیت تشخیص داده شده بود، در حالی که گرده *M. lithospermifolia* مورد مطالعه هتروپولار، ایزوپولار، پرولیت و گرد بود. ولکا و سورووا (Volka & Severova 2013) طی بررسی‌های خود روی ساختارهای هارمونیکاتی گرده (پدیدهای) که در گیاهان رطوبت پسند رخ می‌دهد و طی آن دانه گرده به منظور حفظ آب به حالت چروکیده در می‌آید، بیان داشتند که *Myosotis palustris* موناد و ایزوپولار در نمای استوایی و به شکل ساعت شنی و در نمای قطبی دایره‌ای یا مثلثی بودند که همانند با *M. palustris* بود. هارگرو و سیمپسون (Hargrove & Simpson 2003) نیز اظهار داشتند که گونه‌های *M. laxa* *M. lamottiana* *M. discolor* *M. decumbens* *M. debilis* *M. arrensis* *M. alpestris* *M. sylvatica* و *M. minutiflora* به صورت پرولیت هستند *M. lithospermifolia personii* که این حالت در مطالعه حاضر فقط در گونه *M. sylvatica* دیده شد.

با وجود این که گرده‌های گل فراموش‌مکن ایزوپولار هستند (Meudt 2016)، در بررسی حاضر، در ۱ *M. lithospermifolia* و *M. minutiflora* این قاعده برقرار نبود. گرده‌های *Myosotis* نیوزلندي اوبلیت اسپرودیال، گرد یا پرولیت اسپرودیال و به ندرت پرولیت یا اوبلیت در نمای استوایی با انتهای گرد به ندرت مسطح و کروی، چهارضلعی و پنج‌ضلعی در نمای قطبی تشخیص داد (Meudt 2016) که با *Myosotis* های ایرانی متفاوت بود. ولکوا و همکاران (Volkova *et al.* 2017) دانه گرده *Myosotis scorpioides* را موناد، پرولیت، ایزوپولار و ساعت شنی شکل در نمای استوایی و دایره‌ای در نمای قطبی تشخیص داده بودند که همانند *M. scorpioides* ایرانی بود. هائو و همکاران (Hao *et al.* 2017) دانه گرده *M. wumengensis* را در قسمت بیرونی تقریباً صاف و به شکل ساعت شنی تشخیص داده که همانند *Myosotis* های در تحقیق حاضر نبود.

ساختار دریچه جنس *Myosotis* در تمام گونه‌های مورد مطالعه از دو نوع *endo* و *ektoaperture* و نیز شیار سطحی در تمامی گونه‌ها شیار سطحی کاذب بود (El Ghazali & Krzywinski 1989, Díez & Valdés 1991). گرده‌های گونه‌های *Myosotis* گل فراموش‌مکن به صورت هتروکولپیت هستند (Hao *et al.* 2017). گرده‌های گونه‌های مطالعه شده مطابق با نتایج مطالعه گرده‌های گل‌های فراموش‌مکن نیوزلندي (Meudt 2016)، دانه‌های گرده هتروکولپیت با ۸، ۱۰ یا ۱۲ عدد دریچه بودند (Meudt 2016) که می‌توان دریچه‌ها را به دو قسمت *endoaperture* و *ektoaperture* تقسیم کرد. لازم به ذکر است که گاهی، تعداد دریچه‌ها در یک گونه می‌تواند متفاوت باشد، به طوری که دیز و والدز (1991)، شیار گرده‌های *M. ramosissima* و *M. minutiflora* را با هشت دریچه تشخیص دادند اما در مطالعه حاضر، شیارها شش عدد بود (شکل ۱).

هارگرو و سیمپسون (۲۰۰۳)، طی مطالعه خود روی گاوزبانیان بیان داشتند که ساختار دریچه *M. arvensis* *M. alpestris* و *M. sylvatica* *M. stricta* *M. minutiflora* *M. seuunda* *M. ramosissima* *M. laxa* *M. lamottiana* *M. decumbens* *debilis* و *M. welwitschii* از نوع هتروکولپیت بوده و با سه شیار منفذی و سه شیار کاذب قابل تشخیص است که به جز نوع تنوع گرده در *M. lithospermifolia* ۱ که تعداد دریچه نامشخص بود، در باقی نمونه‌های مورد مطالعه به این حالت مشاهده شد (شکل ۱). این در حالی است که تعداد دریچه‌ها در *M. personii* و *M. discolor* چهار تا شش عدد تشخیص داده شده بود (Hargrove & Simpson 2003) که با تحقیق حاضر همسوی نداشت.

دانه‌های گرده در گونه *M. scorpioides* زنوكولپیت و هتروکولپیت با سطح اگزین در نمای استوایی صاف و در نمای قطبی سوراخ دار همچنین دانه‌های گرده دارای سه شیار منفذ متناوب با سه دریچه کاذب بود که می‌توان این حالت از صفات گرده را در نتایج ولکووا و همکاران (۲۰۱۷) که روی تکامل هتروکولپیت این گونه انجام گرفته بود ملاحظه نمود.

در تحقیقی که ولکووا و سورووا (Volka & Severova 2013) روی ساختار هارموگاتی گرده *M. palustris* انجام دادند مشخص گردید که گرده‌ها زنوكولپورات، هتروکولپیت و سطح اگزین در ناحیه استوایی صاف بود که با تحقیق حاضر که هم صاف و هم سوراخ دار بودند هم خوانی نداشت. دانه‌های گرده هتروکولپیت با سه عدد شیار و نیز سه عدد دریچه کاذب متناوب و هر دو قطب دارای نواحی متخلخل مثلثی شکل بود که با تحقیق حاضر مطابقت داشت.

در انتخاب صفات برتر جهت آرایه‌شناسی گونه‌ها، آنالیز PCA می‌تواند مفید باشد (Bidarlord & Vitek 2020). در تحقیق حاضر می‌توان اظهار داشت که صفات تعداد دریچه‌ها، طرح کلی در نمای قطبی، تعداد شیارهای کاذب، تزیینات دانه‌های گرده با میکروسکوپ الکترونی نگاره، بیشترین قطر دریچه در نمای استوایی یا قطبی، طولانی‌ترین محور قطبی در نمای استوایی دریچه، طولانی‌ترین قطر در نمای استوایی یا قطبی دانه گرده و طولانی‌ترین محور قطبی در نمای استوایی دانه گرده در جداسازی گونه‌های جنس مورد مطالعه حائز اهمیت هستند. همچنین، در جنس چشم‌ونوس (*Omphalodes Mill.*) از گاوزبانیان، صفات نوع دانه گرده، شیار منفذی بودن، حداکثر عرض دانه گرده، دریچه حلقه مانند، دریچه کاذب و تزیینات حاشیه با ارزش هستند (Coutinho et al. 2012). صفات قطر قطبی، قطر استوایی، طول و عرض شیارها، میزوکولپیوم و صخامت اگزین در مطالعه PCA جداسازی گونه‌های جنس آفتتاب پرست (*Heliotropium* Tourn. ex L. Khajoei et al. 2022) متعلق به همین تیره ارزشمند هستند (Nasab et al. 2023). در مطالعه PCA خواجه‌یونی نسب و همکاران (Yousaf et al. 2022) روی دانه‌های گرده برخی از گونه‌های ایرانی *Onosma* L. از تیره مذکور، اشاره نمودند که طول محور قطبی، طول شیار سطحی، طول محور استوایی، شکل دانه گرده به عنوان مهم‌ترین صفات جهت جداسازی گونه‌ها در این جنس دارای اهمیت به سزایی می‌باشد.

در مطالعات صورت گرفته برخی از دانه‌های گرده گونه‌های جنس‌های گاوزبانیان می‌توان عنوان داشت که دانه‌های گرده در گونه‌های *Echium vulgare* L. *Moltzia petraea* (Tratt.) Griseb. *Nonea vesicaria* (L.) Rchb. *Alkanna* دریچه خاردار، *Trigonotis rockii* A.DC. *Myosotis hirsutissima* (Bertol.) A.DC. *I.M.Johnst.* شش دریچه (شیارهای ساده و شیار منفذی با دریچه متناوب)، *Eritrichium nanum* (L.) Gaudin سه شیار منفذی متناوب و سه دریچه کولپیت، *Cynoglossum creticum* Mill. شش دریچه، *Solenanthus watieri* Batt. & Maire *Cynoglossum creticum* Mill. دو نوع دریچه ساده و مركب و سه دریچه کولپیت، *Myosotis azorica* H.C.Watson ساعت شنی شکل، شش هتروکولپیتی همانند برخی از گونه‌های مورد مطالعه تحقیق حاضر قبل مشاهده بود (Weigend et al. 2016). در مطالعه دانه‌های گرده هشت جنس چشم کبوک، ماتیاستروم، میکروپاراکاریوم، ریندرا لاتاتا، سگ‌بان، گل‌عقربی، بنت قنسول و ریه هیمالیا (*Mattiastrum* (Boiss.) Brand, *Paracaryum* Boiss.) *Lindelofia* و *Trachelanthus* Klotzsch, *Solenanthus* Ledeb. *Cynoglossum* L. *Rindera* Pall. ex Riedl Hilger & Podlech (Lehm.), همگی متعلق به گاوزبانیان، مشخص شد که شکل دانه‌های گرده غالباً پرولیت، ساپرولیت، پرولیت گرد و پرپرولیت است که به جز تنوع ۱ *Myosotis miniutiflora* و *M. lithospermifolia* های موردنده در تحقیق حاضر است. تزیینات دانه‌های گرده همه هشت جنس فوق، صاف- نقطه‌دار، صاف- سوراخ دار با گرانولهای ریز، نقطه نقطه- ریز شبکه، شبک و سوراخ دار بود که در گونه‌های *Myosotis* صاف- سوراخ دار و صاف است (Attar et al. 2018).

کلید شناسایی گونه های مورد مطالعه *Myosotis* براساس صفات دانه های گرده

- ۱-۱- کلاس گرده شیار منفذی، موناد و غیرموناد
M. lithospermifolia ۱
 ۲-۱- کلاس گرده شیار منفذی و موناد
M. minutiflora
 ۲-۲- قطبیت دانه گرده ایزوپولار و هتروپولار
 ۳-۲- قطبیت دانه گرده ایزوپولار
Myosotis. sp.
 ۴-۳- سطح دانه گرده صاف
 ۴-۲- سطح دانه گرده صاف و سوراخ دار
 ۵-۴- دانه های گرده ساعت شنی و باسیلی شکل
 ۶-۴- دانه های گرده ساعت شنی شکل
 ۷-۵- سطح ناحیه قطبی گرده با اجسام مثلثی شکل
 ۸-۵- سطح ناحیه قطبی گرده بدون اجسام مثلثی شکل
 ۹-۶- قطر در نمای استوایی یا قطبی دانه گرده بالای ۳ میکرومتر
 ۱۰-۶- قطر در نمای استوایی یا قطبی دانه گرده زیر ۳ میکرومتر
M. sylvatica
 ۱۱-۷- محور قطبی در نمای استوایی دریچه بین ۳ تا ۴ میکرومتر
M. alpestris
 ۱۲-۷- محور قطبی در نمای استوایی دریچه بین ۶ تا ۷ میکرومتر
M. ramosissima ۱
 ۱۳-۸- محور قطبی در نمای استوایی شیار کاذب بالای ۸ میکرومتر
 ۹-۸- محور قطبی در نمای استوایی شیار کاذب زیر ۸ میکرومتر
M. anomala
 ۱۰-۹- قطر دریچه در نمای استوایی یا قطبی بالای ۲ میکرومتر
 ۱۱-۹- قطر دریچه در نمای استوایی یا قطبی بالای ۲ میکرومتر
M. diminuta
 ۱۲-۱۰- قطر در نمای استوایی یا قطبی دانه گرده بالای ۵ میکرومتر
M. olympica
 ۱۳-۱۱- محور قطبی در نمای استوایی دریچه بالای ۵ میکرومتر
M. scorpioidis
 ۱۴-۱۱- محور قطبی در نمای استوایی شیار کاذب زیر ۵ میکرومتر
M. sparsiflora
 ۱۵-۱۲- محور قطبی در نمای استوایی شیار کاذب بالای ۳ میکرومتر
 ۱۶-۱۲- محور قطبی در نمای استوایی شیار کاذب زیر ۰/۲۲ میکرومتر
M. propinqua
 ۱۷-۱۳- قطر در نمای استوایی یا قطبی شیار کاذب زیر ۰/۲۲ میکرومتر
M. lithospermifolia ۲
 ۱۸-۱۳- قطر در نمای استوایی یا قطبی شیار کاذب بالای ۰/۲۲ میکرومتر

سپاسگزاری

نگارندگان از مسئولان محترم هرباریومهای T دانشگاه خوارزمی تهران و FAR دانشگاه خوارزمی کرج، از آزمایشگاه بیوسیستماتیک و سیستماتیک مولکولی گیاهی دانشگاه خوارزمی، از مرکز تحقیقات و آموزش کشاورزی و منابع طبیعی استان گیلان، از باغ گیاه شناسی ملی ایران، از آزمایشگاه مرکزی SEM دانشگاه شهید بهشتی و از کلیه محققان محترمی که ما را در انجام این پژوهش یاری نمودند نهایت تشکر و قدردانی خود را ابراز می نماییم.

References

- Akbarnejad, B. 2023. Taxonomic study of some species of *Myosotis* using morphological and molecular characters. Master's Thesis. Kharazmi University. Tehran. 221 pp. (In Persian).
- Attar, F., Esfandani-Bozchaloyi, S., Mirtadzadini, M. & Ullah, F. 2018. Taxonomic identification in the tribe Cynoglosseae (Boraginaceae) using palynological characteristics. Flora 249: 97–110.

- Atazadeh, N., Sheidai, M., Attar, F., Ghahremaninejad, F., & Koohdar, F. 2020. A palynological study of genus *Cousinia* Cass. (Family Asteraceae), sections Cynaroideae Bunge and Platyacantheae Rech. f. *Grana* 59(6): 428–443.
- Baker, H.G. 1956. Pollen dimorphism in the Rubiaceae. *Evolution* 10(1): 23–31.
- Barber, H.N. 1942. The pollen-grain division in the Orchidaceae. *Journal of Genetics*, 43: 97–103.
- Bidlard, M. & Vitek, E. 2020. Palynological study of some species of *Anthemis* genus and its systematic implications. *Rostaniha* 21(2): 278–291.
- Bigazzi, M. & Selvi, F. 1998. Pollen morphology in the Boragineae (Boraginaceae) in relation to the taxonomy of the tribe. *Plant Systematics and Evolution* 213(1-2): 121–151.
- Bigazzi, M., Nardi, E. & Selvi, F. 2006. Palynological contribution to the systematics of *Rindera* and the allied genera *Paracaryum* and *Solenanthus* (Boraginaceae-Cynoglosseae). *Willdenowia* 36(1): 37–46.
- Brandon, A.M. 2001. Breeding systems and rarity in New Zealand *Myosotis*. Ph.D. thesis, Massey University, Manawat_u, New Zealand.
- Chacón, J., Luebert, F., Hilger, H.H., Ovchinnikova, S., Selvi, F., Cecchi, L. & Weigend, M. 2016. The borage family (Boraginaceae s.str.): A revised infrafamilial classification based on new phylogenetic evidence, with emphasis on the placement of some enigmatic genera. *Taxon* 65(3): 523–546.
- Clarke, G.C.S. 1977a. *Boraginaceae*. Review of Palaeobotany and Palynology 24(2): A59–A101.
- Clarke, G.C.S. 1977b. Northwest European pollen flora. 10. Boraginaceae. Review of Palaeobotany and Palynology 24: 59–101.
- Coutinho, A.P., Castro, S., Carbajal, R., Ortiz, S. & Serrano, M. 2012. Pollen morphology of the genus *Omphalodes* Mill. (Cynoglosseae, Boraginaceae). *Grana* 51(3): 194–205.
- Díez, M.J. & Valdés, B. 1991. Pollen morphology of the tribes Eritrichieae and Cynoglosseae (Boraginaceae) in the Iberian Peninsula and its taxonomic significance. *Botanical Journal of the Linnean Society* 107(1): 49–66.
- Erdtman, G. 1945. Pollen morphology and plant taxonomy. V. *Svensk Bot. Tidskr* 39: 286–297.
- Fukuda, T. & Ikeda, H. 2012. Palynological analysis and taxonomic position of the genus *Mertensia* (Boraginaceae). *Botany* 90(8): 722–730.
- Ganders, F.R. 1979. Heterostyly in *Lithospermum cobrense* (Boraginaceae). *American Journal of Botany* 66(6): 746–748.
- Grau, J. & Leins, P. 1968. Pollenkortypen und Sektionegliederung der Gattung *Myosotis*. *Berichte der Deutschen Botanischen Gesellschaft* 81(3–4): 107–115.
- Grau, J. & Schwab, A. 1982. Mikromerkmale der Blüte zur gliederung der Gattung *Myosotis*. *Mitt. Bot. Miinch* 18: 9–58.
- Halbritter, H., Auer, W. & Sonnleitner, M. 2020. *Myosotis alpestris*. In: PalDat - A palynological database.
- Halbritter, H. & Heigl, H. 2020. *Myosotis palustris*. In: PalDat - A palynological database.
- Halbritter, H. 2016. *Myosotis sylvatica*. In: PalDat - A palynological database.
- Halbritter, H., Svojtka, M., Fabbro, Th. & Zumbrunn, Th. 2016. *Myosotis ramosissima*. In: PalDat - A palynological database.
- Hao, J. C., Liu, Q.R., Gong, Y.X. & Wei, L. 2017. *Myosotis wumengensis* sp. nov. (Boraginaceae) from central Yunnan, southwest China. *Nordic Journal of Botany* 35(3): 257–261.
- Hargrove, L. & Simpson, M.G. 2003. Ultrastructure of heterocolpate pollen in *Cryptantha* (Boraginaceae). *International Journal of Plant Sciences* 164(1): 137–151.

- Khajoei Nasab, F., Nejad Falatoury, A. & Mehrabian, A. 2023. Pollen morphology in Iranian species of *Onosma* (Boraginaceae). *Plant Biosystems - An International Journal Dealing with all Aspects of Plant Biology* 157(2): 437–454.
- Khatamsaz, M. 2002. *Myosotis*. Pp. 244–272. In: M.Assadi (ed.), Flora of Iran 39. Research Institute of Forests and Rangelands. Tehran (In Persian).
- Khatamsaz, M. 2001. Pollen morphology of Iranian Boraginaceae family and its taxonomic significance. *Iranian Journal of Botany* 9(1): 27–40.
- Mabberley, D.J. 2008. Mabberley's Plant-book: a portable dictionary of plants, their classifications and uses (ed. 3). Cambridge University Press.
- Mahmoodi, M., Ghahremaninejad, F. & Maassoumi, A.A. 2015. A new record of the genus *Myosotis* (Boraginaceae) for the flora of Iran: Rediscovery of a rare plant. *The Iranian Journal of Botany* 21(1): 43–46.
- Meudt, H.M. 2016. Pollen morphology and its taxonomic utility in the southern hemisphere bracteate-prostrate forget-me-nots (*Myosotis*, Boraginaceae). *New Zealand Journal of Botany* 54(4): 475–497.
- Mohsenzadeh, S., Sheidai, M., Ghahremaninejad, F. & Koohdar, F. 2020. A palynological study of the genus *Plantago* (Plantaginaceae). *Grana* 59(6): 454–465.
- Mulcahy, D.L. 1981. Pollen tetrads in the detection of environmental mutagenesis. *Environmental Health Perspectives* 37: 91–94.
- Norooz, M., Ghahremaninejad, F., Bogler, D., Witherspoon, J.M., Ryand, G.L., Miller, J.S., Riahi, M. & Cohen, J.I. 2022. Parsing a plethora of pollen: the role of pollen size and shape in the evolution of Boraginaceae. *Cladistics* 38(2): 204–226. DOI: 10.1111/cla.12488.
- Nowicke, J.W. & Miller, J.S. 1990. Pollen morphology of the *Cordioideae* (Boraginaceae): *Auxemma*, *Cordia*, and *Patagonula*. Pp. 103–121. In: Morphology, development, and systematic relevance of pollen and spores. Springer Vienna.
- Nowicke, J.W. & Ridgway, J.E. 1973. Pollen studies in the genus *Cordia* (Boraginaceae). *American Journal of Botany* 60(6): 584–591.
- Nowicke, J.W. & Skvarla, J.J. 1974. A palynological investigation of the genus *Tournefortia* (Boraginaceae). *American Journal of Botany* 61(9): 1021–1036.
- Popov, M.G. 1953. Boraginaceae. Pp. 97–691. In: Flora USSR (Shishkin, B.K. & Bobrov, E., eds). Vol. 19. Izdatel'stvo Akademii Nauk SSSR, Moskva and Leningrad.
- Pourghorban, Z., Salmaki, Y. & Weigend, M. 2020. Phylogenetic relationships within the subtribe Cynoglossinae (Cynoglossoideae: Boraginaceae): new insights from nuclear and plastid DNA sequence data. *Plant Systematics and Evolution* 306(2): 45.
- Ranjbar, M., Ezazi, A. & Ghahremaninejad, F. 2020. Contribution to the pollen morphology of *Convolvulus* (Convolvulaceae). *Phytotaxa* 439(3): 199–216.
- Retief, E. & Van Wyk, A.E. 1997. Palynology of Southern African Boraginaceae: the genera *Lobostemon*, *Echiostachys* and *Echium*. *Grana* 36(5): 271–278.
- Riedl, H. 1967. *Myosotis*. Pp. 255–266. In: K.H. Rechinger (ed.), Flora Iranica 48. Akademische Druck-U. Verlagsanstalt, Graz.
- Robertson, A.W. & Lloyd, D.G. 1991. Herkogamy, dichogamy and self-pollination in six species of *Myosotis* (Boraginaceae). *Evolutionary Trends in Plants* 5: 53–63.

- Robertson, A.W. & Lloyd, D.G. 1993. Rates of pollen deposition and removal in *Myosotis colensoi*. Functional Ecology 7: 549–559.
- Robertson, A.W. & MacNair, M.R. 1995. The effects of floral display size on pollinator service to individual flowers of *Myosotis* and *Mimulus*. Oikos 72: 106–114. Doi: 10.2307/3546044.
- Robertson, A.W. 1989. Evolution and pollination of New Zealand *Myosotis* (Boraginaceae). Ph.D. thesis, University of Canterbury, Christchurch, New Zealand.
- Robertson, A.W. 1992. The relationship between floral display size, pollen carryover and geitonogamy in *Myosotis colensoi* (Kirk) Macbride (Boraginaceae). Biological Journal of the Linnean Society. Linnean Society of London 46: 333–349. Doi:10.1111/j.1095-8312.1992.tb00868.x.
- Sahay, S.K. 1979. Palynotaxonomy of Boraginaceae and some other families of Tubiflorae. Membrane Biology 4(1–2): 117–205.
- Taroda, N. & Gibbs, P.E. 1986. Revision of the Brazilian species of *Cordia* subgenus *Varronia* (Boraginaceae). Notes from the Royal Botanic Garden Edinburgh 44(1) 105–140.
- Yousaf, Z., Zafar, M., Ahmad, M., Sultana, S., Rozina, Ozdemir, F.A. & Abidin, S.Z.U. 2022. Palyno-anatomical microscopic characterization of selected species of Boraginaceae and Fabaceae. Microscopy Research and Technique 85(4): 1332–1354.
- Volkova, O., Severova, E. & Polevova, S. 2017. Development of heterocolpate pollen in *Myosotis scorpioides* L. (Cynoglosseae, Boraginaceae). Grana 56(5): 368–376.
- Volkova, O.A., Severova, E.E. & Polevova, S.V. 2013. Structural basis of harmomegathy: evidence from Boraginaceae pollen. Plant Systematics and Evolution 299: 1769–1779.
- Weigend, M., Selvi, F., Thomas, D.C. & Hilger, H.H. 2016. Boraginaceae. Pp. 41–102. In: Flowering Plants. Eudicots. Springer, Cham.